

깨끗하고 미적인 용접 비드를 위한 TIG Pulse 파형의 응용

Application of TIG Pulse Wave Form for Clean and Beautiful Welding Bead

김선희*, 김명수**, 조상명***

* 부경대학교 대학원

** 부경대학교/디자인학부

*** 부경대학교/소재프로세스공학과

1. 서 론

용접 산업이 3D 이미지를 갖게 된 것은 용접 작업시의 환경 뿐만 아니라 용접 후의 비드의 관이 아름답지 못하였기 때문일 것이다. 사회적으로 용접을 기피하는 현상을 용접 친화적으로 전환 하기 위해서는 작업이 편하고, 그 환경을 깨끗하게 하는 것과 아름다운 용접 비드를 형성하여 예술적 느낌을 가지도록 하는 노력이 필요하다.

따라서 본 연구에서는 미적인 느낌을 받을 수 있는 다양한 비드를 얻기 위하여 TIG 펄스파형으로 오스테나이트계 스테인리스 강판 위에 비드 용접 실험을 행하였다.

2. 펄스 전류 파형 및 비드셀의 정의

2.1 펄스 전류 파형의 정의

Fig. 1은 펄스 전류를 정리한 것이다.

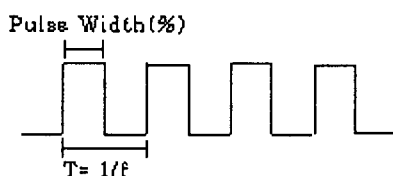


Fig. 1 Pulse current Waveform

- Pulse width(%), W_p : 한 주기 중 펄스전류가 흐르는 비율

- Pulse Time(sec), T_p : 펄스전류 통전 시간

$$T_p = T \cdot W_p(\%)/100, \text{ sec} \quad (1)$$

2.2 펄스 용접비드의 정의

* 펄스 비드셀의 정의

펄스전류로 형성된 하나의 용융풀에 의해 만들어진 단위 비드



Fig. 2 Pulse Bead Cell

* 펄스 비드니플의 정의

비드셀이 서로 겹쳐져서 비드 위에서 결무늬를 이루고 있는 것



Fig. 3 Ripple of Pulse Bead

* 펄스 비드셀의 피치, P_c

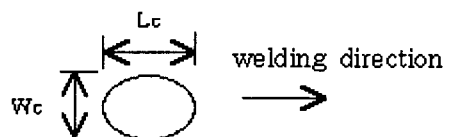


Fig. 4 Pitch of Pulse Bead Cell

$$P_c = v/f, \text{ mm}$$

여기서 f : 주파수, v : 용접속도, mm/sec

* 펄스 비드셀 형상의 정의



W_c : Bead Cell Width, L_c : Bead Cell Length

Fig. 5 Shape of Pulse Bead Cell

여기서 Bead cell의 형상은 폭과 길이에 따라 다음과 같이 Aspect Ratio로 나타낼 수 있고 펄스 용접 조건에 의해 다양하게 변한다.

* 펄스 비드셀 형상비, R_c

$$R_c = L_c / W_c \quad (2)$$

① $R_c = 1.0$: 원형 Pulse Bead Cell, Bead cell 폭에 비하여 Pulse time 동안의 토치 이동거리가 작은 경우

② $R_c > 1.0$: 타원형 Pulse Bead Cell, Bead Cell 폭에 비해 Pulse time 동안의 토치 이동거리가 큰 경우

③ $R_c < 1.0$: impossible

* 여기서, 원형 비드 셀의 직경 $D_c = W_c$

3. 비드셀 직경에 미치는 인자의 검토

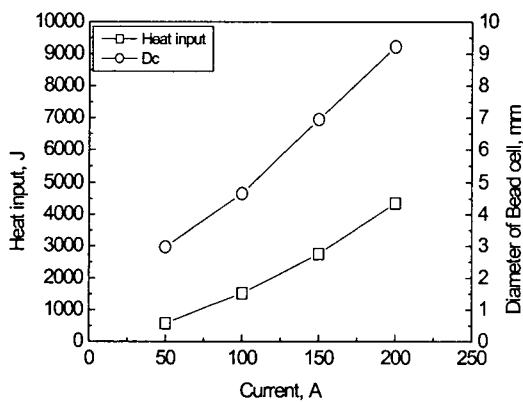
3.1 입열량에 따른 Bead cell 직경검토

3.1.1 전류변화에 따른 검토

Table 1은 비드셀 직경에 미치는 전류의 영향을 검토하기 위해 50~200A사이의 영역에서 1초 동안 정지아크를 유지했을 때의 조건을 나타낸다. Fig. 6은 전류 크기에 따른 입열량과 비드셀 직경을 보인 것이다.

Table 1 Welding Condition

Current, A	50, 100, 150, 200
Welding Time, sec	1
Arc Length, mm	2
Tungsten Electrode, °	30



$$\text{Heat input, } Q = E \cdot I \cdot t, \text{ J}$$

Fig. 6 Diameter of bead cell by current at still arc

3.1.2 용접시간에 따른 비드셀 직경

Table 2는 정지 아크 상태에서 100A 전류로 용접시간을 변화시켰을 때의 비드셀 직경 변화를 보기 위한 조건이다.

Table 2 Welding Condition

Current, A	100
welding time, sec	0.5, 1, 2, 3, 4, 5
Arc Length, mm	2
Tungsten Electrode, °	30

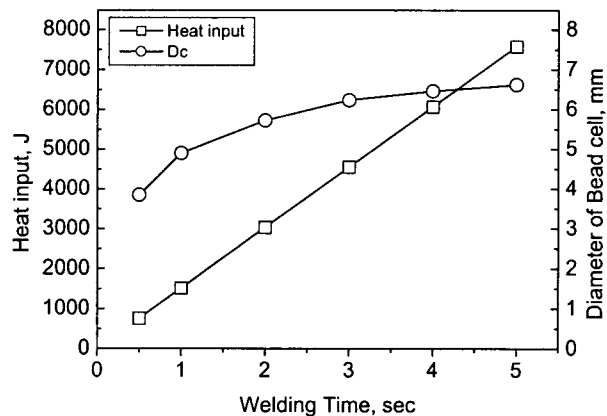


Fig. 7 Diameter of bead cell by welding time at still arc

Fig. 7에서 용접 시간이 증가하면 입열량은 시간에 비례하여 커지지만 비드셀 직경은 포화되는 경향을 보인다.

3.2 Bead Cell 형상비에 미치는 펄스 전류 및 용접속도의 영향

- 비드셀 폭, W_c : 펄스 전류에 주로 지배됨
- 비드셀 길이, L_c : 펄스 시간 및 용접속도에 주로 지배됨

여기서 비드셀 길이는 항상 다음 식과 같이 그 폭 이상으로 된다.

$$L_c = W_c \quad (3)$$

펄스 시간 중 토치 이동거리 L_t ,

$$L_t = \text{펄스시간}(T_p) \cdot \text{용접속도}(v)$$

$$L_c = W_c + L_t = W_c + T_p \cdot v$$

$$R_c = \frac{L_c}{W_c} = \frac{W_c + T_p v}{W_c} = 1 + \frac{T_p v}{W_c} \quad (4)$$

Table 3은 펄스폭을 변화시키면서 여러 피크 전류에 의해 펄스용접하였을 때의 조건을 나타낸다.

Table 3 Welding Condition

Pulse width, %	15, 30, 45, 60
Peak current, A	100, 150, 200
Base current, A	30
Arc length, mm	2
Tungsten electrode, °	30
Frequency, Hz	0.5
Welding speed, mm/sec	5

Fig. 8은 다양한 펄스폭으로 용접하였을 때의 출력전류, 전압 과정이다.

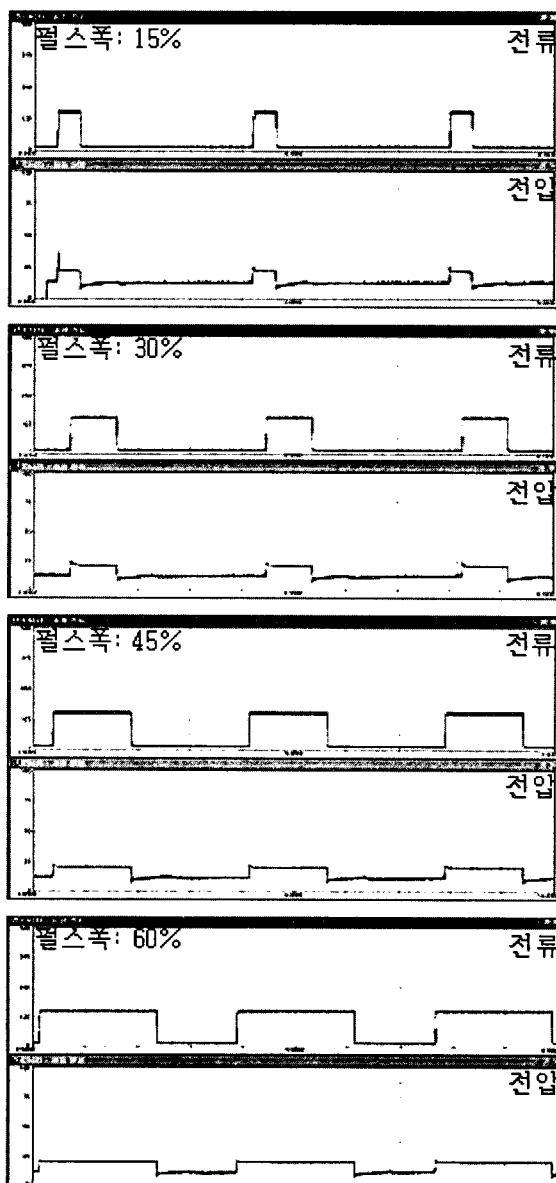


Fig. 8 Waveforms by various pulse width

Fig. 9는 피크 전류를 100, 150, 200A로 하였을 때 펄스폭에 따른 비드셀의 형상비를 보인 것이다. 피크 전류가 낮아 비드셀의 폭이 작을수록 펄스폭의 증가에 따라 비드셀은 길게 됨을 알 수 있다.

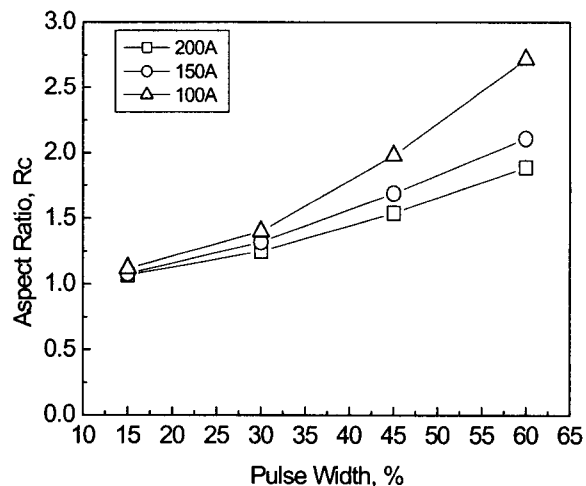


Fig. 9 Aspect ratio by various pulse width

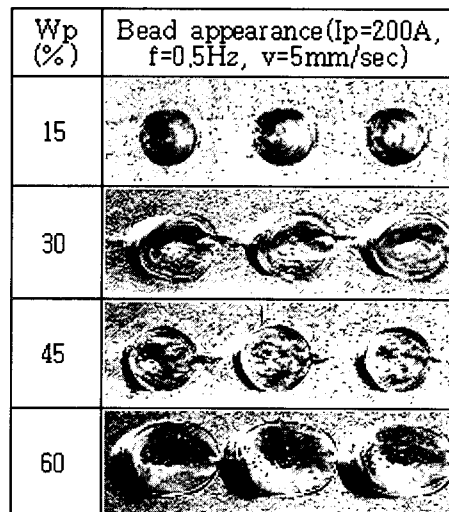


Fig. 10 Bead appearance by pulse width

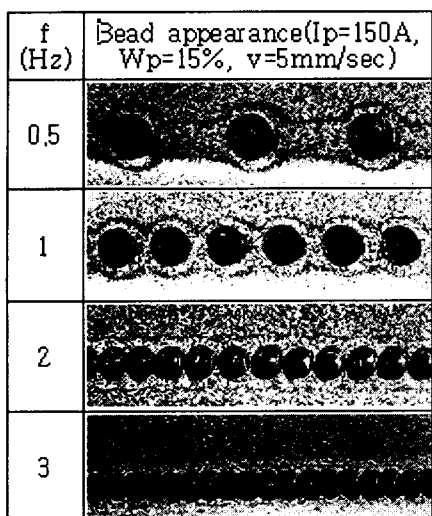


Fig. 11 Bead appearance by pulse frequency

참고문헌

- 조상명, 서상균 : GTA용접용 텅스텐 전극팁의 연마 상태가 아크특성에 미치는 영향(2001. 2 p33-39)

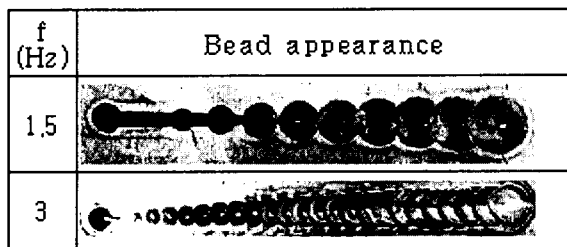


Fig. 12 Bead appearance by pulse TIG welding with up slope

4. 결 론

깨끗하고 미적인 용접 비드를 얻기 위한 TIG Pulse 파형의 응용 실험결과 다음과 같은 결론을 얻을 수 있었다.

1) 펄스파형에 의해 형성되는 용접비드의 형상을 표현하기 위해서 비드셀의 개념을 도입하였다.

2) 펄스 용접 조건을 적절히 선택하면 물방울 모양의 원형 비드셀, 꽃잎 모양의 타원형 비드셀 및 물고기 비늘모양의 겹쳐진 비드셀 등 미적 느낌을 부여할 수 있는 다양한 방법을 개발하였다.